

УДК 551.21(571.6)

## СТРУКТУРНО-ДИНАМИЧЕСКИЕ СООТНОШЕНИЯ ВОСТОЧНО-СИХОТЭ-АЛИНСКОГО ВУЛКАНИЧЕСКОГО ПОЯСА И ЕГО СКЛАДЧАТОГО ОСНОВАНИЯ

© 2009 г. В. П. Уткин

Представлено академиком Ю.М. Пущаровским 26.05.2008 г.

Поступило 30.05.2008 г.

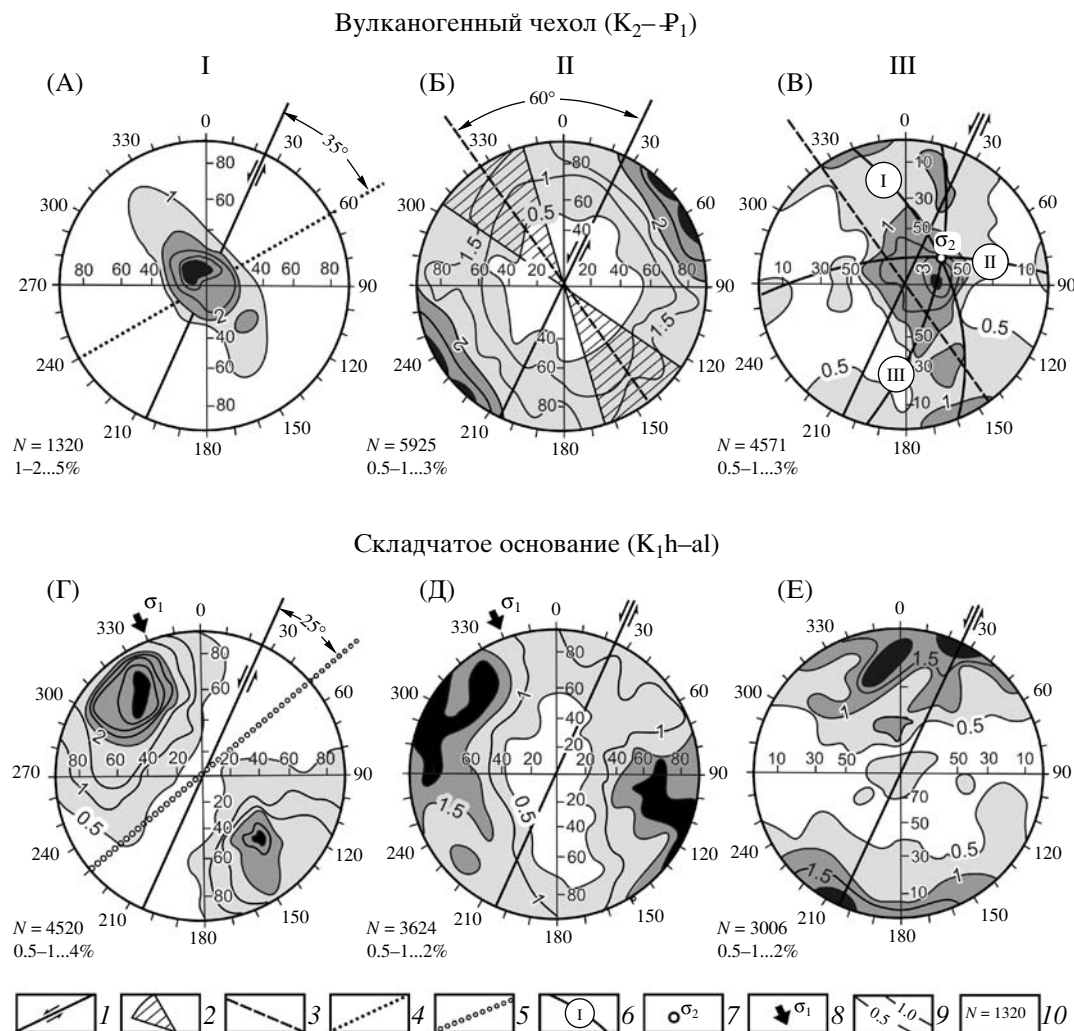
Восточно-Сихотэ-Алинский вулканический пояс (ВСАВП) протягивается вдоль побережья Японского моря и Татарского пролива более чем на 1000 км при средней ширине 35–40 км. ВСАВП и другие звенья Восточно-Азиатского вулканического пояса являются структурами транзитными, носят сквозной характер развития, накладываясь или пересекая протоструктуры восточной окраины Азии независимо от их типа и возраста. Изучение структурно-динамических взаимоотношений, существовавших в процессе синхронных дислокаций оснований и наложенных вулканических комплексов, позволяет определять геодинамические условия формирования вулканических поясов.

ВСАВП сформирован в позднем мелу–раннем палеогене, представлен комплексом осадочно-вулканогенных и эфузивно-экструзивных образований, несогласно перекрывающих складчатое основание, которое сложено преимущественно раннемеловыми терригенными отложениями, смятыми в систему открытых и изоклинальных складок с простиранием в среднем северо-восток 40°–60°, осложненных чешуйчатыми взбросо-надвигами. Складчатая система рассечена северо-северо-восточными левыми сдвигами. В отличие от основания в вулканитах при геокарттировании доминирующих региональных складчатых и разрывных систем не выявлено. Наблюдались фрагменты складчато-слоистых структур с разным простиранием и углами падения и многочисленные так же разноориентированные разрывы (преимущественно сбросы), формирование которых связывалось с локальными стрессами, возникавшими в процессе вулкано-плутонического магматизма. У большинства исследователей сложилось устойчивое представление, согласно ко-

торому вулканиты являются наложенным комплексом с индивидуальным типом дислокаций, не имеющих генетических связей с тектоникой раннемелового складчатого основания. Открытие в Сихотэ-Алине системы север-северо-восточных левых сдвигов с амплитудами смещений в позднем мелу до первых десятков километров позволило сделать вывод о формировании ВСАВП в результате позднемеловой активизации сдвигов [2–4]. В этих геодинамических условиях в вулканогенном чехле должны формироваться ансамбли закономерно ориентированных и складчатых, и разрывных структур, характерных для дислокаций образований, перекрывающих активные сдвиги. Была поставлена задача выявить в позднемеловых вулканитах комплекс синсдвиговых структур.

К проблеме соотношений дислокаций ВСАВП и складчатого основания мы обращались неоднократно [1, 3, 4]. На заключительном этапе к решению поставленной задачи мы шли путем статистического анализа всей совокупности массовых замеров ориентировок элементов складчатых и разрывных структур, собранных в процессе многолетних исследований в составе геолого-съемочных партий и при выполнении научно-исследовательских работ в ДВГИ ДВО РАН. Генетическая расшифровка статистически выявленных закономерностей пространственных соотношений разрывных и складчатых дислокаций проводилась с использованием структурно-парагенетического метода. Для корректного решения поставленной задачи (исключение возможной локальности выявленных закономерностей) исследовано два крупных фрагмента ВСАВП, удаленных друг от друга на сотни километров: северо-восточный фланг пояса (Самаргинский рудный район) и его центральную часть (Кавалерово-Дальнегорский рудный район).

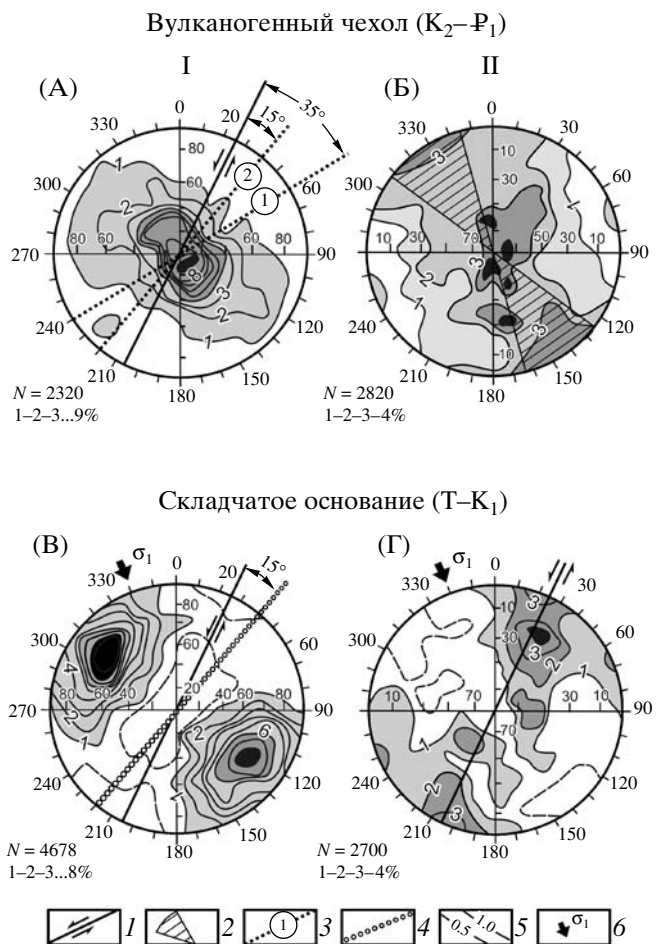
Статистический анализ структурных элементов основания вулканитов показал следующие результаты. Максимумы замеров слоистости в



**Рис. 1.** Соотношения складчатых и разрывных структур вулканогенного чехла и складчатого основания по данным статистического анализа (северо-восточный фланг ВСАВП). I–III (вертикальные ряды) – диаграммы (сетки Вульфа, верхние полусфера) ориентировок массовых замеров слоистости (I), разрывов с признаками смещений (II), тектонической штриховки (III). 1 – простирание Центрального Сихотэ-Алинского левого сдвига; 2 – сектор развития вулканической доминирующей системы крутых разрывов; 3 – усредненное простирание доминирующих разрывов в вулканической системе; 4, 5 – простирание складчатой системы вулканитов (4) и складчатого основания (5); 6 – пояса концентрации тектонических штрихов с разными углами погружения; 7 – точка выхода на поверхность сферы среднего напряжения сжатия; 8 – напряжение главного сжатия, составляющего с Сихотэ-Алинской системой левых сдвигов угол около 45°; 9 – изолинии плотностей полюсов слоистости (A, Г), разрывов (Б, Д) и погружений штрихов скольжения (В, Е); 10 – число замеров ориентировок слоев (I), разрывов с признаками смещений (II) и тектонических штрихов (III).

раннемеловых осадочных комплексах (рис. 1Г, рис. 2В) свидетельствуют о развитии складок с преимущественно крутопадающими ( $60^{\circ}$ – $85^{\circ}$ ) крыльями и простирианием СВ  $40^{\circ}$ – $50^{\circ}$ , идентичным доминирующей ориентировке складчатой системы Сихотэ-Алиня. Максимумы замеров разрывов с признаками смещений (рис. 1Д) указывают на доминанту крутопадающих ( $60^{\circ}$ – $90^{\circ}$ ) сместителей с преимущественно северо-восточным простирианием, отвечающим ориентировке сдвиговой системы Сихотэ-Алиня, в том числе и главной структуре этой системы – Центральному Сихотэ-Алинскому сдвигу (ЦСАС), который здесь и

на других диаграммах использован в качестве ре-пера при анализе доминирующих ориентировок разрывов и складок по данным статистики. Максимумы замеров ориентировок тектонических штрихов (рис. 1Е, рис. 2Г) отражают их преимущественно пологие углы погружения ( $0^{\circ}$ – $30^{\circ}$ ) и простириание, параллельное и субпараллельное север-северо-восточным крутопадающим сместителям (рис. 1Д), подтверждая сдвиговую кинематику установленной системы региональных сдвигов Сихотэ-Алиня. Выявленные статистическим методом доминирующие ориентировки складчатых и разрывных систем, как и кинемати-



**Рис. 2.** Соотношение складчатых структур и тектонической штриховки вулканогенного чехла и складчатого основания (центральная часть ВСАВП). I, II (вертикальные ряды) – диаграммы (сетки Вульфа, верхние полусфера) ориентировок массовых замеров слоистости (I) и тектонических штрихов (II). 1 – простирание Центрального Сихотэ-Алинского сдвига; 2 – сектор развития доминирующей системы сдвигов в вулканитах; 3 – простирание складок вулканитов на раннем (1) и последующем (2) этапах их развития; 4 – простирание складок основания вулканитов; 5 – изолинии плотностей полюсов слоистости (A, B) и выходов тектонической штриховки (Б, Г); 6 – направление главного сжатия, составляющего с Сихотэ-Алинской системой левых сдвигов угол около  $45^\circ$ .

ческие характеристики, оказались идентичными простиранию и кинематике закартированных региональных структур основания вулканитов. По существу статистический анализ был апробирован как метод выявления доминирующих складчато-разрывных систем и поэтому уверенно использовался при оценке дислокационных характеристик вулканического чехла.

В отличие от складчатого основания вулканический чехол характеризуется пологонаклонными моноклиналями, смят преимущественно в бра-

хиформные складки с пологими крыльями, но с четко выраженной тенденцией развития линейной складчатости северо-восточного простирания (рис. 1А, рис. 2А), в общем идентичного ориентировке складчатой системы основания (рис. 1Г, рис. 2В). При более детальном анализе обнаруживается некоторая дискордантность в положении складок с разными углами падения крыльев (рис. 2А). Система складок с относительно пологими крыльями (до  $50^\circ$ ) ориентирована в среднем СВ  $60^\circ$  и составляет с ЦСАС угол около  $35^\circ$ , в то время как складки с более крутыми (до  $85^\circ$ ) крыльями ориентированы в среднем СВ  $40^\circ$ , аналогично простиранию тесно сжатых складок основания (рис. 2В). Из анализа складчатости чехла следует два основных вывода. Во-первых, позднемеловой вулканический чехол, в отличие от существовавших представлений, характеризуется достаточно четко выраженной тенденцией развития региональной складчатой системы северо-восточного простирания, которая ориентирована под острым углом по отношению к северо-восточным левым сдвигам, указывая на ее формирование как следствие активности сдвигов основания. Во-вторых, первичные складки с пологими крыльями по мере их сжатия разворачивались против часовой стрелки, что совпадает с направлением ротации в зонах левосторонних сдвигов.

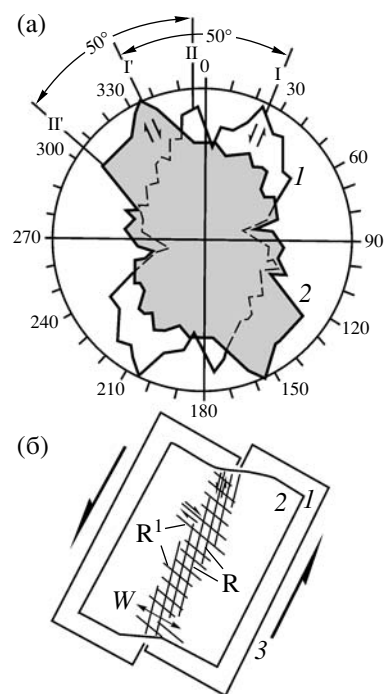
Разрывы с признаками смещений в позднемеловых вулканитах преимущественно крутые до вертикальных (рис. 1Б). Их ориентировка разнообразна, но с четко выраженной доминантой, указывающей, что основная масса разрывов формировала в секторе СЗ  $305^\circ$ – $345^\circ$  под углом в среднем  $60^\circ$  по отношению к северо-восточным левым сдвигам основания. По многим разрывам доминирующей северо-западной ориентировки при полевых исследованиях, кроме сбросов, установлены правосторонние сдвиги. Сдвиговая кинематика разрывов этого направления статистически подтверждается субгоризонтальной тектонической штриховкой северо-западного простирания (рис. 1В, рис. 2Б). Однако в отличие от доминирования сдвигов в основании (рис. 1Е, рис. 2Г) в позднемеловых вулканитах преобладают сбросы с преимущественно крутой и вертикальной тектонической штриховкой (рис. 1В, рис. 2Б). В целом тектоническая штриховка сосредоточена в трех поясах, точка пересечения которых фиксирует выход на поверхности средней оси напряжений сжатия, погружающейся на юго-запад под углом  $60^\circ$  (рис. 1В). Крутое положение средней оси сжатия вместе с субгоризонтальным главным сжатием (СЗ  $40^\circ$ ) свидетельствуют о сдвиговом геодинамическом режиме дислокаций вулканического чехла.

Для оценки ориентировки сдвигов вулканитов по отношению к сдвигам основания были выбраны замеры крутых ( $70^\circ$ – $90^\circ$ ) сместителей, несущих пологую ( $0^\circ$ – $30^\circ$ ) тектоническую штриховку (рис. 3а). Роза простираций сдвигов основания характеризуется двумя основными максимумами – I ( $25^\circ$ ) и II ( $355^\circ$ ). В вулканитах сдвиги также выражены двумя главными максимумами простираций – Г' ( $335^\circ$ ) и Г' ( $305^\circ$ ). Углы между максимумами I–Г' и II–Г' равны и составляют  $50^\circ$ . Возникает предположение, что максимумы правых сдвигов вулканитов генетически связаны с активизацией соответствующих максимумов левых сдвигов основания. Это предположение находит подтверждение, если обратиться к результатам широко известного эксперимента Риделя [5] (рис. 3б). Можно считать, что северо-западная система правых сдвигов вулканитов является сколами Риделя, формировавшимися в результате активизации в позднем мелу северо-восточных левых сдвигов основания. Длительная позднемеловая активность северо-восточных левых сдвигов основания, по-видимому, обусловила трансформацию сдвигов Риделя в структуры растяжения, что привело к широкому развитию сбросовой тектоники в вулканитах и контролю этими структурами, как установлено [3, 4], дайкового магматизма и рудных тел.

Из изложенного вытекают следующие основные выводы.

1. Статистический анализ ориентировок слоистости осадочных пород подтверждает наличие в раннемеловых образованиях основания вулканитов складчатой системы северо-восточного простириания высокой степени развития. Также подтверждается развитие доминирующей системы крутых (до вертикальных) разрывов с пологой тектонической штриховкой, северо-восточная ориентировка которых идентична простирианию Сихотэ-Алинской системы левых сдвигов. Система складчатости по отношению к системе сдвигов ориентирована под острым углом, в полном соответствии с положением складчатых парагенезов левых сдвигов. Следовательно, основание вулканитов в раннем мелу структурировалось в условиях сдвигового геодинамического режима при субмеридиональном региональном сжатии.

2. В позднемеловых вулканитах, наряду с локальными дислокациями, по-видимому, связанными с вулкано-плутоническими процессами, наблюдается система преимущественно брахиформной складчатости, но с четко выраженной тенденцией развития линейной складчатости северо-восточного простириания. Косая ориентировка складок вулканитов по отношению к сдвигам основания свидетельствует о формировании складчатости вулканитов в условиях продолжав-



**Рис. 3.** Доминирующие простириания сдвигов вулканогенного чехла и складчатого основания (а) и их соотношения с результатами эксперимента Риделя (б). а – розы простирианий сдвигов основания (1) и вулканогенного чехла (2). Замеров соответственно 1336 и 1520. I, II – максимумы простирианий левых сдвигов основания, активизация которых, по-видимому, обусловила формирование соответствующих (Г', Г'') максимумов правых сдвигов в вулканитах. б – схема эксперимента Риделя [5]. 1 – жесткие пластины; 2 – пластичный материал (глина); 3 – направление смещения пластин (левый сдвиг); R – сколы Риделя (синтетические сдвиги); R<sup>1</sup> – сопряженные сколы Риделя (антигенные сдвиги); W – ширина сдвиговой зоны.

шейся в позднем мелу левосторонней активности северо-восточной системы сдвигов основания.

3. В позднемеловых вулканитах, при всем разнообразии разрывов разных направлений (преимущественно сбросы), доминируют разрывы, сформированные в секторе СЗ  $305^\circ$ – $345^\circ$ . В этой системе разрывов, кроме сбросов, установлены правые сдвиги, а с системой северо-восточных левых сдвигов основания она составляет угол около  $60^\circ$ , что соответствует сколам Риделя, которые, как известно, развиваются в чехле, перекрывающем активные сдвиги. Следовательно, доминирующая разрывная тектоника вулканитов формировалась вследствие активизации северо-восточных левых сдвигов основания.

4. Весь комплекс доминирующих складчатых и разрывных дислокаций позднемелового вулканического чехла формировался в условиях активизации северо-восточной системы левых сдвигов раннемелового основания, что противоречит

представлениям, согласно которым на восточной окраине Азии в позднем мелу произошла смена сдвиговой геодинамической обстановки на субдукционную. Развитие позднемеловых вулканических поясов в условиях сдвигового геодинамического режима подтверждается и их главными морфо-генетическими характеристиками. Линейная морфология окраинно-континентальных вулканических поясов объясняется их контролем глубинными сдвигами, которые предопределяют не только мегапротяженность поясов, но и процессы магматизма, так как при активизации сдвигов формируются структуры растяжения континентальной коры, а также генерируются поля на-

пряжений, благоприятные для продвижения к поверхности магм разной глубинности [2–4].

#### СПИСОК ЛИТЕРАТУРЫ

1. Врублевский А.А., Сорокин Б.К., Уткин В.П. и др. // ДАН. 1977. Т. 235. № 4. С. 894–897.
2. Уткин В.П. // ДАН. 1978. Т. 240. № 2. С. 400–403.
3. Уткин В.П. Сдвиговые дислокации и методика их изучения. М.: Наука, 1980. 144 с.
4. Уткин В.П. Сдвиговые дислокации, магматизм и рудообразование. М.: Наука, 1989. 163 с.
5. Riedel W. // Cent. Miner., Geol. and Paleontol. B. 1929. V. 1. P. 78–97.